

МЕТОД КОНЕЧНЫХ ЭЛЕМЕНТОВ С РАСЧЕТНЫМИ ПРОСТРАНСТВЕННЫМИ ДВУХУЗЛОВЫМИ СТЕРЖНЕВЫМИ ЭЛЕМЕНТАМИ ПРИ ГЕОМЕТРИЧЕСКИХ НЕЛИНЕЙНОСТЯХ

Кошакаева Ф.М.

Бұл жұмыста шыбықтың сызықсыздық матрицасын құрудың алгоритмі берілген және тексерілген

In article the algorithm of construction of a nonlinear matrix of rigidity for a rod is given and tested

Исследуются упругое статическое и динамическое состояния пространственной системы «морская буровая платформа – анизотропное основание» [1-3]. Платформа представляется как стержневая система. Такие системы могут быть подвержены большим перемещениям. Возникает необходимость учета геометрической нелинейности стержневых элементов. Получение аналитических решений в геометрически нелинейных задачах является сложной математической проблемой и возможно лишь в отдельных случаях. Для решения таких задач используются современные численные методы, в частности, метод конечных элементов. Основная трудность при решении нелинейных задач методом конечных элементов состоит в построении тангенциальной матрицы жесткости $[K_T]$. В данной работе представлено построение нелинейной матрицы жесткости для стержня с двенадцатью степенями свободы.

Физические уравнения состояния трехмерного стержневого элемента в локальной системе координат $Ox'y'z'$, где направление оси Ox' совпадает с осью стержня, имеют вид:

$$\{f\} = [D_{cm}]\{\varepsilon\}, \text{ где } \{f\}^T = \{N \quad Q_y \quad Q_z \quad M_x \quad M_y \quad M_z\},$$

$$\{\varepsilon\}^T = \{\varepsilon_x \quad \chi'_z \quad \chi'_y \quad \chi \quad \chi_y \quad \chi_z\}.$$

Здесь $\varepsilon_x, \chi, \chi_y, \chi_z$ – осевая деформация, относительный угол закручивания и кривизны оси стержня, $N, Q_y, Q_z, M_x, M_y, M_z$ – продольная и поперечная силы, крутящий момент и изгибающие моменты соответственно.

Диагональные элементы матрицы $[D_{cm}] = [b_{ij}]$, $(i, j = 1, 2, \dots, 6)$, определяются выражениями:

$$b_{11} = EF, b_{22} = EJ_z, b_{33} = EJ_y, b_{44} = GJ, b_{55} = EJ_y, b_{66} = EJ_z.$$

Остальные элементы матрицы упругости расчетного стержневого элемента равны нулю. Учитывается геометрическая нелинейность осевых деформаций стержня:

$$\varepsilon_x = \frac{du}{dx} + \frac{1}{2} \left[\left(\frac{du}{dx} \right)^2 + \left(\frac{dv}{dx} \right)^2 + \left(\frac{dw}{dx} \right)^2 \right].$$

Перемещения произвольной точки оси стержня определяются следующими формулами:

$$u = \left(1 - \frac{x}{\ell}\right)u_i + \frac{x}{\ell}u_j, v = \left[1 - 3\left(\frac{x}{\ell}\right)^2 + 2\left(\frac{x}{\ell}\right)^3\right]v_i + \left[3\left(\frac{x}{\ell}\right)^2 - 2\left(\frac{x}{\ell}\right)^3\right]v_j + \\ + \ell \left[\frac{x}{\ell} - 2\left(\frac{x}{\ell}\right)^2 + \left(\frac{x}{\ell}\right)^3\right]\varphi_{z_i} + \ell \left[\left(\frac{x}{\ell}\right)^3 - \left(\frac{x}{\ell}\right)^2\right]\varphi_{z_j}, w = \left[1 - 3\left(\frac{x}{\ell}\right)^2 + 2\left(\frac{x}{\ell}\right)^3\right]w_i + \\ + \left[3\left(\frac{x}{\ell}\right)^2 - 2\left(\frac{x}{\ell}\right)^3\right]w_j + \ell \left[\frac{x}{\ell} - 2\left(\frac{x}{\ell}\right)^2 + \left(\frac{x}{\ell}\right)^3\right]\varphi_{y_i} + \ell \left[\left(\frac{x}{\ell}\right)^3 - \left(\frac{x}{\ell}\right)^2\right]\varphi_{y_j},$$

$$\varphi_x = \left(1 - \frac{x}{\ell}\right)\varphi_{x_i} + \frac{x}{\ell}\varphi_{x_j},$$

$$\varphi_y = \left[1 - 4\frac{x}{\ell} + 3\left(\frac{x}{\ell}\right)^2\right]\varphi_{y_i} + \left[3\left(\frac{x}{\ell}\right)^2 - 2\frac{x}{\ell}\right]\varphi_{y_j} + \frac{6}{\ell} \left[\left(\frac{x}{\ell}\right)^2 + \frac{x}{\ell}\right]w_{i_i} + \frac{6}{\ell} \left[\left(\frac{x}{\ell}\right) - \left(\frac{x}{\ell}\right)^2\right]w_{j_j},$$

$$\varphi_z = \left[1 - 4\frac{x}{\ell} + 3\left(\frac{x}{\ell}\right)^2\right]\varphi_{z_i} + \left[3\left(\frac{x}{\ell}\right)^2 - 2\frac{x}{\ell}\right]\varphi_{z_j} + \frac{6}{\ell} \left[\left(\frac{x}{\ell}\right)^2 + \frac{x}{\ell}\right]v_{i_i} + \frac{6}{\ell} \left[\left(\frac{x}{\ell}\right) - \left(\frac{x}{\ell}\right)^2\right]v_{j_j}.$$

Обозначим

$$N_{1i} = 1 - \frac{x}{\ell}, N_{1j} = \frac{x}{\ell},$$

$$N_{2i} = 1 - 3\left(\frac{x}{\ell}\right)^2 + 2\left(\frac{x}{\ell}\right)^3, N_{2j} = 3\left(\frac{x}{\ell}\right)^2 - 2\left(\frac{x}{\ell}\right)^3,$$

$$N_{3i} = \ell \left[\frac{x}{\ell} - 2\left(\frac{x}{\ell}\right)^2 + \left(\frac{x}{\ell}\right)^3\right], N_{3j} = \ell \left[\left(\frac{x}{\ell}\right)^3 - \left(\frac{x}{\ell}\right)^2\right],$$

$$N'_{2i} = \frac{6}{\ell} \left[\left(\frac{x}{\ell}\right)^2 - \frac{x}{\ell}\right], N'_{2j} = \frac{6}{\ell} \left[\frac{x}{\ell} - \left(\frac{x}{\ell}\right)^2\right],$$

$$N'_{3i} = 1 - 4\frac{x}{\ell} + 3\left(\frac{x}{\ell}\right)^2, N'_{3j} = 3\left(\frac{x}{\ell}\right)^2 - 2\left(\frac{x}{\ell}\right).$$

Матрицу узловых перемещений запишем в виде:

$$\{\delta\} = \left\{ u_i, v_i, w_i, u_j, v_j, w_j, \varphi_{x_i}, \varphi_{y_i}, \varphi_{z_i}, \varphi_{x_j}, \varphi_{y_j}, \varphi_{z_j} \right\}^T$$

Тогда матрица функции форм:

$$[N] = \begin{bmatrix} N_{1i} & 0 & 0 & N_{1j} & 0 & 0 & 0 & 0 & 0 & 0 & 0 & 0 \\ 0 & N_{2i} & 0 & 0 & N_{2j} & 0 & 0 & 0 & N_{3i} & 0 & 0 & N_{3j} \\ 0 & 0 & N_{2i} & 0 & 0 & N_{2j} & 0 & N_{3i} & 0 & 0 & N_{3j} & 0 \\ 0 & 0 & 0 & 0 & 0 & 0 & N_{1j} & 0 & 0 & N'_{1j} & 0 & 0 \\ 0 & 0 & N'_{2i} & 0 & 0 & N'_{2j} & 0 & N'_{3i} & 0 & 0 & N'_{3j} & 0 \\ 0 & N'_{2i} & 0 & 0 & N'_{2j} & 0 & 0 & 0 & N'_{3i} & 0 & 0 & N'_{3j} \end{bmatrix}.$$

Введем дополнительные обозначения:

$$[D] = \begin{bmatrix} [D'] & 0 \\ 0 & [D''] \end{bmatrix}, \text{ где } [D'] - \text{ будет состоять из одного элемента } [D'] = [EF],$$

$$[D''] = \begin{bmatrix} EJ_z & 0 & 0 & 0 & 0 \\ 0 & EJ_z & 0 & 0 & 0 \\ 0 & 0 & GJ & 0 & 0 \\ 0 & 0 & 0 & EJ_y & 0 \\ 0 & 0 & 0 & 0 & EJ_z \end{bmatrix}.$$

Матрица деформаций $\{\varepsilon\}$ запишется в виде:

$$\{\varepsilon_0\} = \begin{Bmatrix} \varepsilon'_0 \\ \varepsilon''_0 \end{Bmatrix},$$

$$\{\varepsilon_L\} = \begin{Bmatrix} \varepsilon'_L \\ 0 \end{Bmatrix}, \{\delta\} = \begin{Bmatrix} \delta' \\ \delta'' \end{Bmatrix}, \varepsilon'_0 = \frac{du}{dx}, \varepsilon'_L = \frac{1}{2} \left[\left(\frac{du}{dx} \right)^2 + \left(\frac{dv}{dx} \right)^2 + \left(\frac{dw}{dx} \right)^2 \right].$$

Обозначим:

$$[B_0] = \begin{bmatrix} [B'_0] & 0 \\ [B''_0] & [B''_0] \end{bmatrix}, [B_L] = \begin{bmatrix} [B'_L] & [B''_L] \\ 0 & 0 \end{bmatrix}, \{\theta\} = \left\{ \frac{du}{dx} \frac{dv}{dx} \frac{dw}{dx} \right\}^T,$$

$$\{\varepsilon'_0\} = \frac{1}{\ell} [-1 \ 0 \ 0 \ 1 \ 0 \ 0] = [B'_0] \{\delta'\}, \text{ т.е. } [B'_0] = \frac{1}{\ell} [-1 \ 0 \ 0 \ 1 \ 0 \ 0],$$

ℓ - длина расчетного элемента, $\{\delta'\}, \{\delta''\}$ - матрицы линейных и угловых перемещений; тогда

$$\{\varepsilon'_L\} = \frac{1}{2} \left\{ \frac{du}{dx} \frac{dv}{dx} \frac{dw}{dx} \right\} \begin{Bmatrix} \frac{du}{dx} \\ \frac{dv}{dx} \\ \frac{dw}{dx} \end{Bmatrix} = \frac{1}{2} \{\theta\}^T [G] \{\delta\},$$

где

$$[G] = \begin{bmatrix} N'_{1i} & 0 & 0 & N'_{1j} & 0 & 0 & 0 & 0 & 0 & 0 & 0 & 0 \\ 0 & N'_{2i} & 0 & 0 & N'_{2j} & 0 & 0 & 0 & N'_{3i} & 0 & 0 & N'_{3j} \\ 0 & 0 & N'_{2i} & 0 & 0 & N'_{2j} & 0 & N'_{3i} & 0 & 0 & N'_{3j} & 0 \end{bmatrix},$$

$[G] = [[G'] [G'']]$, ненулевые элементы матриц $[G'] = [g'_{ij}]$ и $[G''] = [g''_{ij}]$, ($i=1,2,3; j=1, \dots, 6$), равны $g'_{11} = N'_{1i}, g'_{14} = N'_{1j}, g'_{22} = g'_{33} = N'_{2i}, g'_{25} = g'_{36} = N'_{2j}, g''_{23} = g''_{32} = N'_{3i}, g''_{26} = g''_{35} = N'_{3j}$. Тогда:

$$[B'_L] = \{\theta\}^T [G'], [B''_L] = \{\theta\}^T [G'']$$

Полная тангенциальная матрица жесткости определяется по формуле:

$$[K_T] = [K_0] + [K_\sigma] + [K_L],$$

где $[K_0]$ и $[K_L]$, соответственно, матрицы жесткости элемента при малых и конечных перемещениях, $[K_\sigma]$ - матрица начальных напряжений. Формулы для вычисления этих матриц имеют вид:

$$[K_0] = \int_V [B_0]^T [D] [B_0] dV, \int_V d[B_L]^T \{\sigma\} dV = [K_\sigma] d\{\delta\},$$

$$[K_L] = \int_V [B_0]^T [D] [B_L] dV + \int_V [B_L]^T [D] [B_L] dV + \int_V [B_L]^T [D] [B_0] dV.$$

Нелинейная матрица жесткости и матрица начальных напряжений для стержневого элемента соответственно равны:

$$[K_L] = EF \int \begin{bmatrix} [B'_0]^T [B'_L] + [B'_L]^T [B'_0] + [B'_L]^T [B'_L] & [B'_0]^T [B''_L] + [B'_L]^T [B''_L] \\ [B''_L]^T [B'_0] + [B''_L]^T [B'_L] & [B''_L]^T [B''_L] \end{bmatrix} dx,$$

$$[K_\sigma] = \int_0^l N_x \begin{bmatrix} [G']^T [G'] & [G']^T [G''] \\ [G'']^T [G'] & [G'']^T [G''] \end{bmatrix} dx,$$

В целях отладки программы и исследования вопросов точности и сходимости решения произведен расчет нескольких тестовых задач.

Тест 1. В качестве первой задачи рассматривается наклонный упругий стержневой элемент, где иллюстрируется влияние осевых эффектов (рис.1).

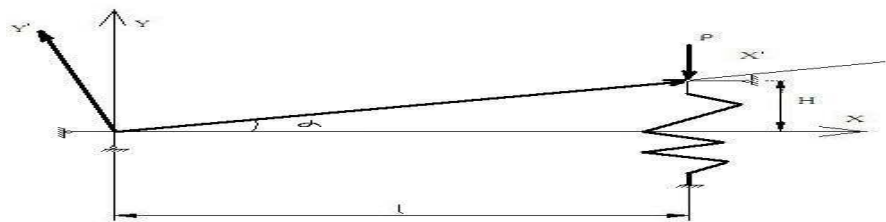


Рис. 1-Схема наклонного стержневого элемента

Хотя эта задача чрезвычайно проста, она была выбрана для решения из-за малого количества необходимых вычислений и благодаря тому, что с ее помощью можно выявить ожидаемое поведение решения более сложных задач.

Эту задачу решали ряд исследователей: [4],[5]. Следовательно, точность полученных результатов можно оценить при сравнительном анализе. В выполненных расчетах стержень испытывает только сжатие. Задача является существенно нелинейной, с большими перемещениями. При расчете использованы следующие исходные данные:

$EF=10^7$ кг - жесткость на сжатие, $h=1$ см - проекция длины стержня на ось Oy, $l =100$ см-проекция длины стержня на ось Ox, $k=6$ кг/см – коэффициент жесткости пружины.

Стержень рассматривается как один стержневой конечный элемент с четырьмя степенями свободы (прогиб и осевое перемещение в каждом из двух узлов). Так как стержень не подвергается изгибу и на него действует сосредоточенное в узле вертикальное усилие, то перемещения аппроксимируются с помощью формул:

$$u = (1 - \frac{x}{\ell})u_i + \frac{x}{\ell}u_j, v = (1 - \frac{x}{\ell})v_i + \frac{x}{\ell}v_j.$$

В матричной форме:

$$\{U\} = [N]\{\delta\}, \text{ где } \{U\} = \{u \ v\}^T, [N] = \begin{bmatrix} N_{1i} & 0 & N_{1j} & 0 \\ 0 & N_{1i} & 0 & N_{1j} \end{bmatrix} - \text{ функции}$$

формы, где $\{\delta\} = \{u_1 \ v_1 \ u_2 \ v_2\}^T$ - вектор узловых перемещений.

Осевая деформация выражается следующим образом:

$$\varepsilon_x = \frac{du}{dx} + \frac{1}{2} \left(\frac{dv}{dx} \right)^2.$$

Выразим основные матрицы:

$$\{\varepsilon_x\} = \begin{bmatrix} N'_{1i} & 0 & N'_{1j} & 0 \end{bmatrix} \{\delta\} = [B_o]\{\delta\}, \{\theta\} = \begin{bmatrix} 0 & N'_{1i} & 0 & N'_{1j} \end{bmatrix} \{\delta\} = [G]\{\delta\},$$

$$\{\varepsilon_x\} = 0,5\{\theta\}^T \{\theta\} = 0,5\{\delta\}^T [G]^T [G]\{\delta\} = 0,5[B_L]\{\delta\},$$

$$[B_o] = \begin{bmatrix} N'_{1i} & 0 & N'_{1j} & 0 \end{bmatrix}, [B_L] = \{\delta\}^T [G]^T [G].$$

Матрица упругости $[D]$ в такой постановке примет вид: $[D] = [EF]$.

Как видно из рисунка локальная система координат не совпадает с глобальной системой координат и повернута на угол α . Матрица перехода от ЛСК к ГСК определится выражением:

$$[L] = \begin{bmatrix} \cos \alpha & \sin \alpha \\ -\sin \alpha & \cos \alpha \end{bmatrix}, \text{ где } \cos \alpha = \frac{l}{\sqrt{l^2 + h^2}}, \quad \sin \alpha = \frac{h}{\sqrt{l^2 + h^2}}.$$

Граничные условия:

$$u_1 = 0, \quad v_1 = 0, \quad u_2 = 0.$$

Результаты решения для различных значений нагрузки (P=9кг, P=12кг, P=24кг) приведены в таблице 1 и совпадают с численными решениями по работам [4], [5]. На рисунке 2 представлена кривая зависимости перемещения от нагрузки, где явно заметно качественное и количественное отличие линейного и нелинейного решений.

Таблица 1 – Сравнительная характеристика решения задачи различными методами

Нагрузка, P(кг)	Перемещения, см	
		По работам [4], [5]

	Линейные	Нелинейные	Линейные	Нелинейные
9	-0,56	-1,46	-0,56	-1,48
12,0	-0,75	-2,00	-0,75	-2,08
24,0	-1,50	-2,88	-1,50	-2,88

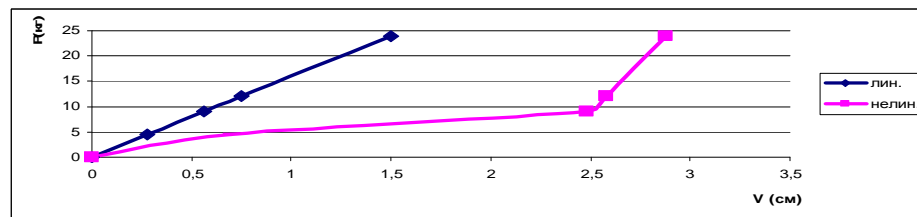


Рис. 2 - Кривая зависимости перемещения от нагрузки

Тест 2. В качестве второй задачи рассматривается упругая консольная балка с изгибающим моментом на свободном конце, изображенная на рисунке 3.

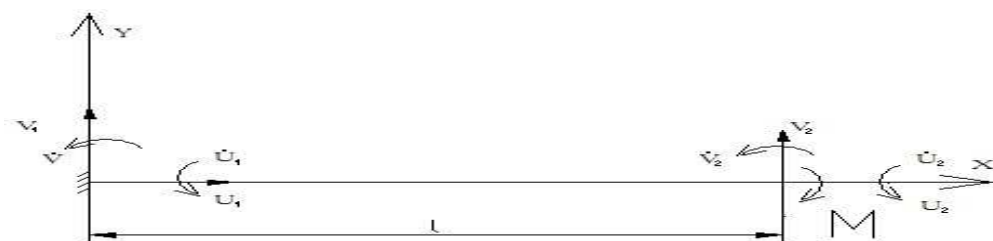


Рис.3-Схема расчетного элемента

Задача включает чисто изгибные эффекты, простота задачи позволяет получить простые аналитические формулы, описывающие геометрически нелинейные эффекты. Наибольшее значение прогиба и осевого перемещения будут на свободном конце балки и равны:

$$u = l - \rho \sin \varphi, \quad v = \rho(1 - \cos \varphi),$$

u, v - соответственно горизонтальное и вертикальное перемещения балки, l - длина балки, ρ - кривизна балки, φ -угол поворота свободного конца.

В качестве конкретной задачи выбрана балка со следующими данными:

$M=10^5$ кг см- внешняя статическая нагрузка, $l=100$ см- длина балки,

$F=10$ см²- площадь поперечного сечения балки, $I=5$ см⁴-момент инерции поперечного сечения относительно нейтральной оси в плоскости изгиба,

$E=2 \cdot 10^6$ кг/см²-модуль упругости.

Так как нейтральный слой при чистом изгибе не растягивается, то

$$\varphi = \frac{l}{\rho} = \frac{Ml}{EI} = 1 \text{ рад, откуда } l = \rho.$$

Подставляя полученные значения φ, ρ, l , получим:

$$u=100(1-\sin 1) = 15,83 \text{ см, } v=100(1-\cos 1) = 45,97 \text{ см.}$$

В форме МКЭ балка рассматривалась как один конечный элемент с восемью степенями свободы (прогиб, осевое перемещение и два угла поворота

в каждом из двух узлов). С учетом того, что задача рассматривается в плоском варианте, перемещения произвольной точки оси стержня выражаются в виде:

$$u = N_{2i} u_1 + N_{3i} \varphi_{x1} + N_{2j} u_2 + N_{3j} \varphi_{x2},$$

$$v = N_{2i} v_1 + N_{3i} \varphi_{y1} + N_{2j} v_2 + N_{3j} \varphi_{y2}.$$

В матричной форме

$$\{U\} = \begin{Bmatrix} u \\ v \end{Bmatrix}, [N] = \begin{bmatrix} N_{2i} & N_{3i} & 0 & 0 & N_{2j} & N_{3j} & 0 & 0 \\ 0 & 0 & N_{2i} & N_{3i} & 0 & 0 & N_{2j} & N_{3j} \end{bmatrix}.$$

функция формы, $\{\delta\} = \{u_1, \varphi_{x1}, v_1, \varphi_{y1}, u_2, \varphi_{x2}, v_2, \varphi_{y2}\}$ - матрица узловых перемещений.

Осевое перемещение $\varepsilon_x = \frac{du}{dx} + \frac{1}{2} \left[\left(\frac{du}{dx} \right)^2 + \left(\frac{dv}{dx} \right)^2 \right]$, кривизна $\rho = \frac{d^2v}{dx^2}$.

Матрицы напряжений $\{N, M\}^T$ и деформации $\{\varepsilon_x, \rho\}^T$ связаны с матрицей упругости $[D] = \begin{bmatrix} EF & 0 \\ 0 & EI \end{bmatrix}$. Тогда матрица $[B]$ будет иметь вид:

$$[B] = \begin{bmatrix} N'_{2i} & N'_{3i} & 0 & 0 & N'_{2j} & N'_{3j} & 0 & 0 \\ 0 & 0 & N''_{2i} & N''_{3i} & 0 & 0 & N''_{2j} & N''_{3j} \end{bmatrix},$$

где «'» - знак производной.

Нелинейная матрица деформации примет следующий вид:

$$\{\varepsilon_L\} = \begin{Bmatrix} \varepsilon'_L \\ 0 \end{Bmatrix}, \text{ где } \varepsilon'_L = \frac{1}{2} \left[\left(\frac{du}{dx} \right)^2 + \left(\frac{dv}{dx} \right)^2 \right].$$

Данную зависимость можно реализовать следующими обозначениями и преобразованиями:

$$\{\theta\}^T = \left\{ \frac{du}{dx} \quad \frac{dv}{dx} \right\},$$

$$[\theta] = \begin{bmatrix} N'_{2i} & N'_{3i} & 0 & 0 & N'_{2j} & N'_{3j} & 0 & 0 \\ 0 & 0 & N''_{2i} & N''_{3i} & 0 & 0 & N''_{2j} & N''_{3j} \end{bmatrix} \{\delta\} = [G] \{\delta\},$$

$$\{\varepsilon'_L\} = \frac{1}{2} \{\theta\}^T \{\theta\} = \frac{1}{2} [[G] \{\delta\}]^T [G] \{\delta\} = \frac{1}{2} \{\delta\}^T [G] \{\delta\} = \frac{1}{2} [B'_L] \{\delta\},$$

$$[B'_L] = \{\delta\}^T [G]^T [G].$$

Нелинейная матрица дифференцирования $[B'_L]$ представляется следующим образом:

$$[B_L] = \begin{bmatrix} B'_L \\ 0 \end{bmatrix}.$$

Граничные условия заземленного конца задаются в виде:

$$u_1 = 0, \dot{v}_1 = 0, v_1 = 0, \dot{u}_1 = 0.$$

Результаты расчета представлены в таблице 2, перемещения свободного конца близки к аналитически полученным результатам, что свидетельствует о большой точности программы.

Полученные численные результаты позволяют сделать вывод, что рассматриваемый алгоритм может применяться для расчета геометрически нелинейных стержневых систем, находящихся под воздействием статической нагрузки.

Таблица 2-Сравнительная характеристика перемещения свободного конца балки различными методами

Результаты решения	u_2 (см)	v_2 (см)
По [4]	-15,853	45,970
По[5]	-15,850	45,197
По алгоритму	-15,810	45,980

Предложенный алгоритм использован для расчета и анализа упругого состояния конкретной платформы. Анализ влияния больших перемещений на упругие перемещения узлов платформы показал:

- учет геометрической нелинейности существенно изменяет результаты, полученные для линейной системы «платформа – основание»; значения полученных перемещений в 1,5-2,2 раза превышают значения соответствующих перемещений при линейном расчете.

Литература:

- 1.Айтиалиев Ш.М. Морские сооружения – форпосты освоения нефтегазовых месторождений Каспия// Вестник Инженерной академии РК, 2003.-№2 (10).
2. Айтиалиев Ш.М., Масанов Ж.К., Божанов Е.Т., Дюсембаев И.Н., Нигметов М.Ж. Проблемы устойчивого функционирования инженерных сооружений на шельфе Казахстанского сектора Каспия// Третья ассамблея Ассоциации университетов Прикаспийских государств. Актау, 1998.
- 3.Масанов Ж.К., Кошакаева Ф.М. Упругое статическое состояние пространственных морских стержневых систем на анизотропном основании при больших перемещениях, Алматы, Вестник КазАТК, 2005
- 4.Лукаш П.А. Основы нелинейной строительной механики. - Москва: Стройиздат, 1978.
- 5.Ананян В.В.Деформирование и предельная несущая способность физически и геометрически нелинейных стержневых систем: дис. канд.тех.наук.:. 01.02.03.- Москва, 1986.